



SAPIENZA
UNIVERSITÀ DI ROMA

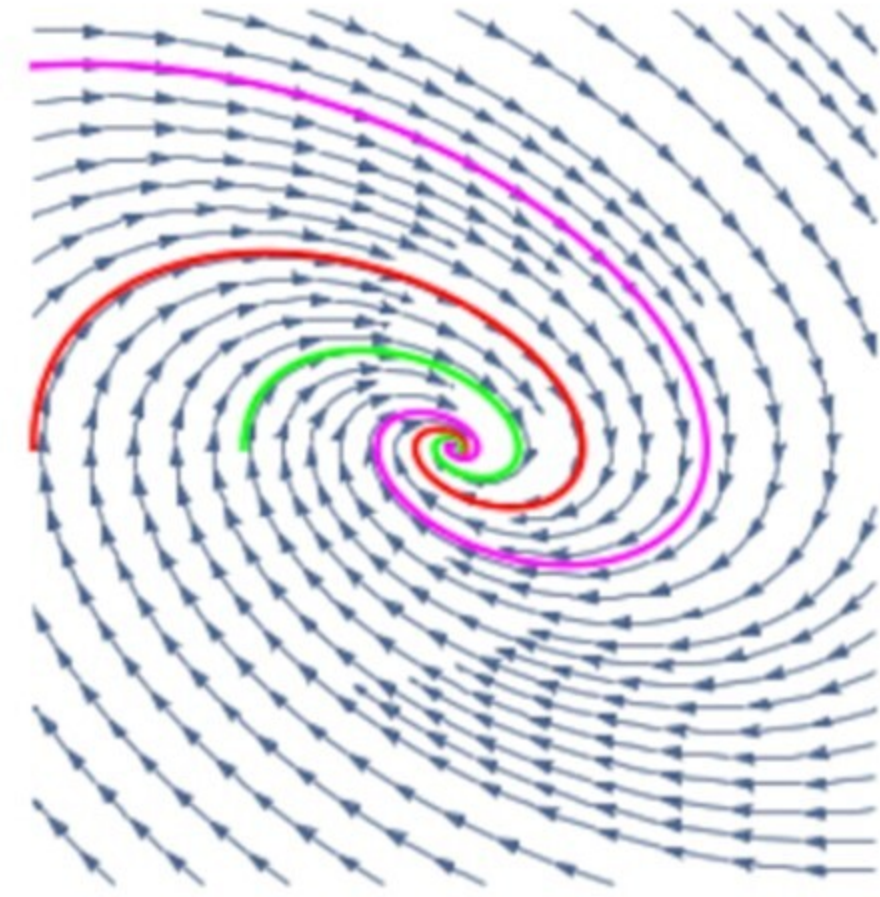
Il fascino della Matematica e delle sue applicazioni

Domenico Vitulano

**DIPARTIMENTO DI SCIENZE DI BASE E
APPLICATE PER L'INGEGNERIA**

Bando Iniziative di Terza Missione per l'anno 2020

Sapienza Università di Roma



Analisi della comunicazione non verbale attraverso le immagini

Domenico Vitulano

***Dipartimento di Scienze di Base ed Applicate,
Università degli Studi di Roma 'Sapienza', Italia***



"THE TIMID PUPIL" *La Mésangère, Paris (about 1800)*

Comunicazione non verbale (wikipedia)

Tipi di comunicazione

La comunicazione può essere:

verbale: composta dalle parole che pronunciamo
(firma personale)

paraverbale: definita dal modo con il quale
pronunciamo le parole
(tono della voce, timbro, volume,
velocità, pause, inflessione e dialetto,
inclinazione della voce, accento sulle
parole)

non verbale: definita da ciò che non diciamo
(espressioni del viso o
postura del corpo)



Comunicazione non verbale (wikipedia)



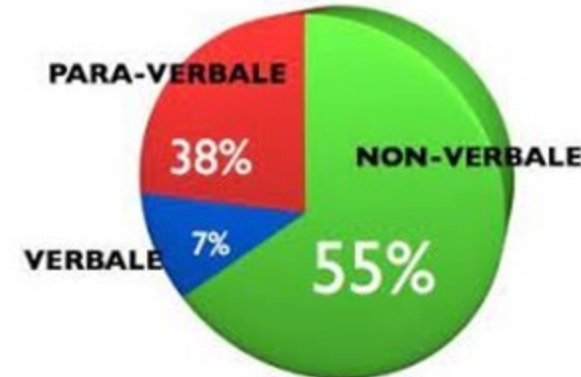
Tipi di comunicazione

Peso 'reale' delle componenti della comunicazione (1972):

verbale: 7%

paraverbale: 38%

non verbale: 55%



La Comunicazione Non Verbale

Albert Mehrabian,
Nonverbal Communication,
Taylor & Francis Inc, 2007



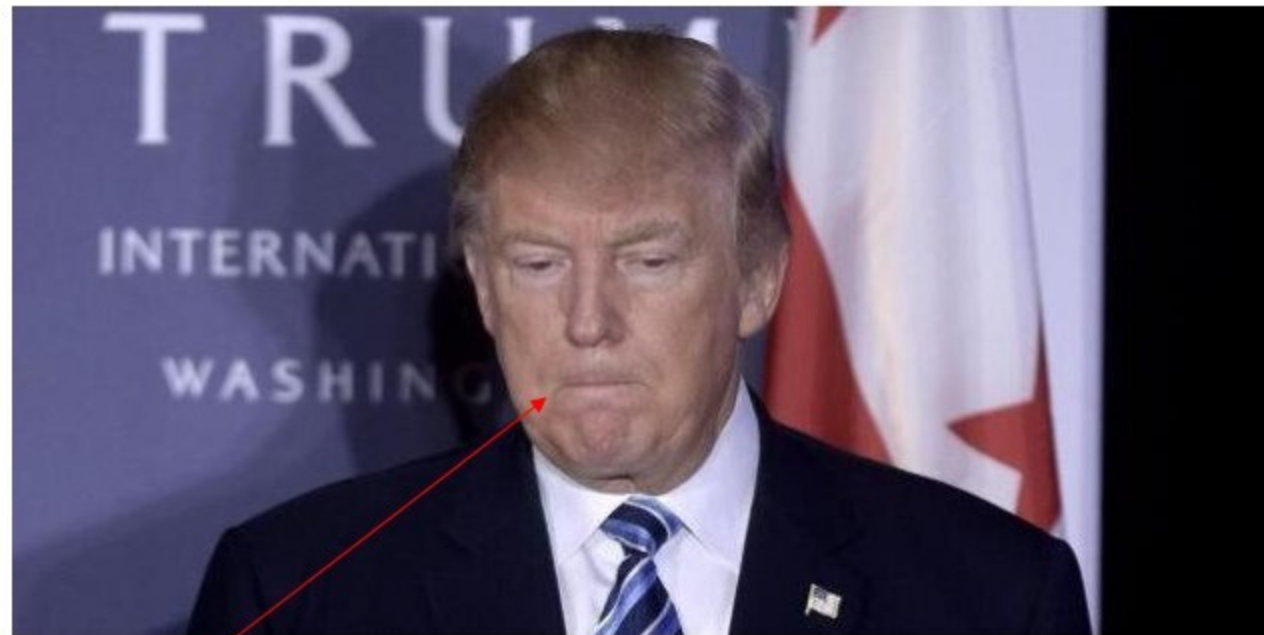
Comunicazione non verbale: Microespressioni facciali

Se scrutassimo con attenzione il colloquio tra due individui, ne potremmo individuare di molteplici



Definizione: micro-movimenti facciali involontari derivanti, ad esempio, dalla contrazione di un muscolo del viso

Vantaggio: permettono di individuare se il pensiero di una persona sia più o meno veritiero



Rilevamento di Microespressioni

Definizione: micro-movimenti facciali involontari derivanti, ad esempio, dalla contrazione di un muscolo del viso

Vantaggio: permettono di individuare se il pensiero di una persona sia più o meno veritiero

Difficile: durata massima pari a **500 ms**, durata minima tra **100 e 166 ms**.

Distinzione tra ME (gesti involontari) e battito degli occhi (**blink**, gesto naturale).

https://it.wikipedia.org/wiki/Comunicazione_non_verbale

Wen-Jing Yan and Yu-Hsin Chen Measuring dynamic micro-expressions via feature extraction methods Journal of Computational Science, 25:318{326, 2018



Cenni sulle microespressioni (facciali)

Definizione (2): espressione del viso, caratterizzata dal fatto di essere **breve**, molto **attenuata** e **involontaria**, che appare quando un individuo deliberatamente o involontariamente **tenta di nascondere** le proprie emozioni.

La dinamica temporale della microespressione consiste di **tre fasi (istanti) principali**:

L'inizio: i muscoli facciali iniziano a contrarsi e l'espressione inizia dunque a cambiare

il picco: momento in cui avviene la micro-espressione e risulta maggiormente visibile

la fine: i muscoli tendono a rilassarsi per tornare a un'espressione neutra



DV TV

Semplice



Complicato

Applicazioni nel settore investigativo

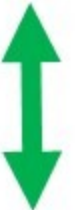
Nel 2008, il numero di telecamere installate nel mondo ammontava a circa 11 milioni

nel 2013 il loro numero è più che triplicato

nel 2012, sono state caricate su YouTube circa 2,5 milioni di ore di filmati riguardanti accadimenti ripresi dagli utenti in ogni parte del mondo

su Facebook sono state inserite circa 300 milioni di fotografie digitali

etc . . .



*le agenzie di Intelligence
le forze di Polizia
le Unità Investigative delle grandi imprese energetiche/finanziarie*

Applicazioni nel settore marketing

Il cliente ha sempre ragione

**Una clientela soddisfatta è alla base della sostenibilità e della crescita di qualsiasi Business
(indicatori di prestazioni chiave o KPI)**

Misurazione del gradimento di un cliente tramite sistemi di telecamere



Cenni sulle microespressioni (facciali)

Partendo da: *espressione del viso, caratterizzata dal fatto di essere breve, molto attenuata e involontaria, che appare quando un individuo deliberatamente o involontariamente tenta di nascondere le proprie emozioni.*



rilevamento di microespressioni (ME spotting)

Rilevazione automatica di un intervallo temporale in cui avviene il micro-movimento in una sequenza di video frames



classificazione di microespressioni (ME recognition)

Classificazione della microespressione coinvolta nel video campionario



Classificazione di microespressioni (ME recognition)

Effettuata da **classificatori** (Machine Learning)

k-Nearest Neighbor (k-NN)

Support Vector Machine (SVM)

Random Forest (RF)

Classificatore di Rappresentazione Sparsa (SRC)

Relaxed K-SVD

Group Sparse Learning (GSL)

Extreme Learning Machine (ELM)

Alcune app

Trevor Hastie, Robert Tibshirani, and Jerome Friedman

The elements of statistical learning: data mining, inference, and prediction

Springer Science & Business Media, 2009.

Tool	Class label	Technique	Attributes
Microsoft Cognitive Services	anger, contempt, disgust, fear, happiness, neutral, sadness, and surprise	Cloud-Based Emotion Recognition Algorithm	Face rectangle top, left, height, and width
Kairos	smile, dislike, surprise, and attention	-	Eyes, eyebrows, nose, mouth
Eyeris EmoVu	facial detection	Deep Learning Architecture	
Sky biometric Application	facial attributes including gender, smile, closed eyes, open mouth, glasses and dark glasses	Deep Neural Networks	Closed eyes, open mouth, glasses and dark glasses
Affectiva	engaged, amused, surprised or confused	Machine-Learning Algorithms	Eyes, nose, mouth, eyebrows
Emotient	joy, surprise, sadness, anger, disgust, contempt, fear, confusion and frustration	Machine-Learning Algorithms	Eyes, eyebrows, nose, mouth
OpenFace	facial landmark detection and tracking: head pose detection, eye gaze estimation	Conditional Local Neural Fields (CLNF)	Face rectangle
FaceReader	happy, sad, angry, surprised, scared, disgusted, contempt and neutral	Artificial Neural Network	Complete facial points.
Nviso	happiness, surprise, fear, anger, disgust, and sadness	Machine Learning Algorithms	3D facial image feature
Vision API	joy, sorrow, and anger	-	Key facial features

Renuka S Deshmukh and Vandana Jagtap.

A survey: Software api and database for emotion recognition

ICICCS, 284-289. IEEE, 2017.

Classificazione di microespressioni (ME recognition)

Effettuata da classificatori (Machine Learning)

si basano sostanzialmente sul
Facial Action Coding System, F.A.C.S.,
(sistema di classificazione e
codificazione dei movimenti facciali umani)

Espressioni universali (1972):
rabbia, disgusto, tristezza, gioia, paura, sorpresa

+

divertimento, disprezzo, contentezza, imbarazzo,
eccitazione, colpa, orgoglio, sollievo,
soddisfazione, piacere sensoriale e vergogna
(1992)



Fear
Upper eyelids raised



Disgust
Nose wrinkled



Anger
Jaw thrust forward



Determination/Anger
Lips pressed



Sadness
Eyebrows drawn up



Sadness
Lip corners down

Facial Action Coding System di **Paul Ekman**

Classificazione di microespressioni (ME recognition)

Effettuata da classificatori (Machine Learning)



espressioni facciali scomposte in **unità d'azione**:

Action Unit

(durata, l'intensità, asimmetrie bilaterali)

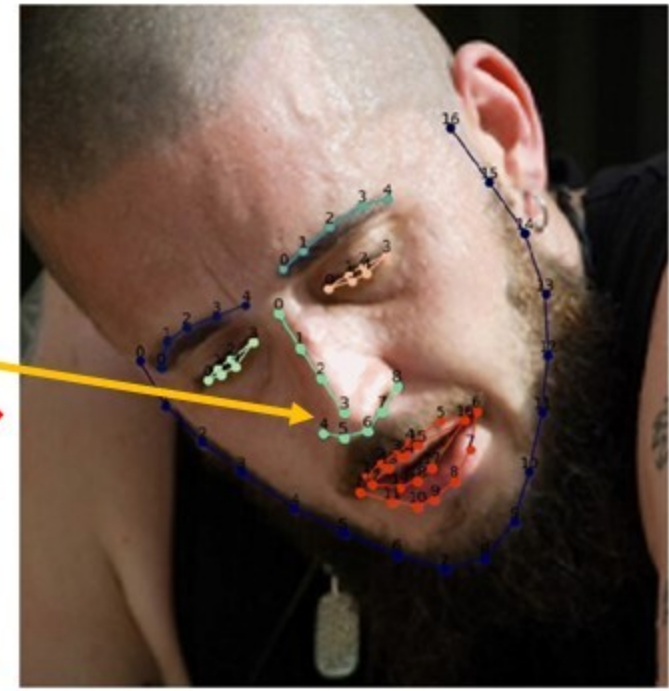
Inside Out, film del 2015, Disney Pixar
Personaggi principali: Gioia, Tristezza, Rabbia,
Paura e Disgusto

AU1 	AU2 	AU4 	AU5 	AU6 	AU7
AU9 	AU10 	AU12 	AU15 	AU16 	AU17
AU20 	AU23 	AU24 	AU25 	AU26 	AU27

Facial Action Coding System di **Paul Ekman**

Rilevamento classico di microespressioni (ME spotting): Preprocessing

Work	Landmark detection	Landmark tracking	Face registration	Masking	Face regions
Polikovsky et al., 2009	Manual	-	-	-	12 ROIs
Shreve et al., 2009	-	-	-	-	3 ROIs
Wu et al., 2011	-	-	-	-	Whole face
Shreve et al., 2011	-	-	Face alignment	Eyes, nose and mouth	3 ROIs
Polikovsky and Kameda, 2013	Manual	APF	-	-	12 ROIs
Shreve et al., 2014	SCMS	-	-	Eyes and mouth	4 Parts
Moilanen et al., 2014	Manual	KLT	Face alignment	-	6 x 6 blocks
Davison et al., 2015	Face++	-	Affine transform	-	5 x 5 blocks
Patel et al., 2015	DRMF	OF	-	-	49 ROIs
Liong et al., 2015	DRMF	-	-	-	3 ROIs
Wang et al., 2016a	DRMF	-	Non-reflective similarity transformation	-	6 x 6 blocks
Liong et al., 2016c	DRMF	-	-	Eyes	3 ROIs
Xia et al., 2016	ASM	-	Procrutes analysis	-	Whole face
Liong et al., 2016b	DRMF	-	-	-	3 ROIs
Davison et al., 2016a	Face++	-	Affine transform	-	4 x 4, 5 x 5 blocks
Davison et al., 2016b	Face++	-	2D-DFT and Piecewise affine warping	Binary masking	26 ROIs
Yan and Chen, 2017	CLM	-	-	-	16 ROIs
Li et al., 2017	Manual	KLT	-	-	6 x 6 blocks
Ma et al., 2017	CLNF from OpenFace	KLT	-	-	5 ROIs
Qu et al., 2017	ASM	-	LWM	-	Various block sizes
Duque et al., 2018	AAM	KLT	-	-	5 ROIs



Benjamin Johnston & Philip de Chazal
A review of image-based automatic facial landmark identification techniques
EURASIP Journal on Image and Video Processing 2018

**Yee-Hui Oh, John See, Anh Cat Le Ngo,
Raphael C.-W. Phan and Vishnu M. Baskaran**
A Survey of Automatic Facial Micro-Expression Analysis: Databases, Methods, and Challenges.
Frontiers in Psychology

Rilevamento classico di microespressioni (ME spotting): Processing

Work	Feature	Feature Analysis	Movement (M) / Apex (A)	Spotting technique	Database
Polikovsky et al., 2009	3D gradient histogram	-		k mean cluster	High-speed ME database (not available)
Shreve et al., 2009	Optical strain	-	M	Threshold technique	USF
Wu et al., 2011	Gabor features	-	M	GaborSVM	MEET (48 videos)
Shreve et al., 2011	Optical strain	-	M	Threshold technique	USF-HD
Polikovsky and Kamada, 2013	3D gradient histogram	-		k mean cluster	Canal-9 (not available)
Shreve et al., 2014	Optical strain	-	M	Threshold technique	Found videos (not available)
Mollanen et al., 2014	LBP	✓	M	Threshold technique	High-speed ME database (not available)
Davison et al., 2015	HOG	✓	M	Threshold technique	CASME-A
Patel et al., 2015	Spatio-temporal Integration of OF vectors	-	M	Threshold technique	CASME-B
Liong et al., 2015	LBP correlation	-		Threshold technique	SMIC-VIS-E
	CLM		A	Binary search	SAMM
	Optical strain				SMIC
Wang et al., 2016a	MDMD	✓	M	Threshold technique	CAS(ME) ²
Xia et al., 2016	Geometrical motion deformation	-	M	Random walk model	CASME
Liong et al., 2016b	LBP correlation	-	A	Binary search	SMIC
Liong et al., 2016c	LBP correlation	-	A	Binary search	CASME II
Davison et al., 2016a	HOG	✓	M	Threshold technique	CASME II
Davison et al., 2016b	3D HOG	✓		Threshold technique	SAMM
	LBP		M		SAMM
	OF				CASME II
Li et al., 2017	HOOF	✓		Threshold technique	SMIC-E-HS
	LBP		M		SMIC-E-VIS
					SMIC-E-NIR
Yan and Chen, 2017	LBP correlation	-		Peak detection	CASME II
	CLM		A		
	HOOF				
Ma et al., 2017	R-HOOF	-	A	Threshold technique	CASME
					CASME II
Qu et al., 2017	LBP	✓	M	Threshold technique	CAS(ME) ²
Duque et al., 2018	Riesz Pyramid	✓	M	Threshold technique	SMIC-E-HS
					CASME II

MOLTO COMPLICATO !



**Yee-Hui Oh, John See, Anh Cat Le Ngo,
Raphael C. -W. Phan and Vishnu M. Baskaran
A Survey of Automatic Facial Micro-Expression Analysis: Databases, Methods, and Challenges.
Frontiers in Psychology, 2018**

Un semplice modello (Sistema Visivo Umano)

E' possibile un modello più semplice (sesto senso)?

Basato sul modello originale di Adelson e Bergen

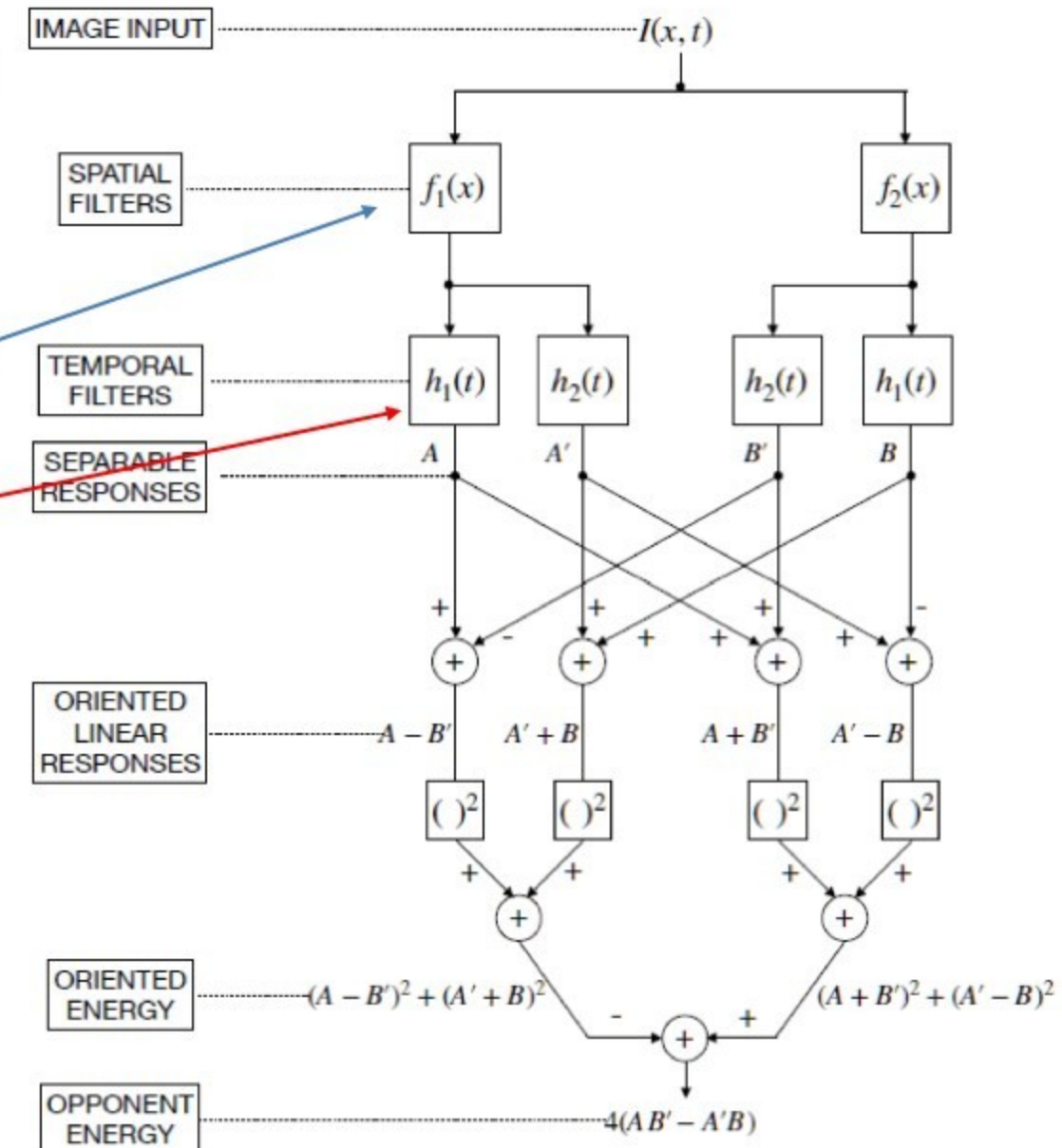


Rilevamento di movimenti (rapidi e lenti)

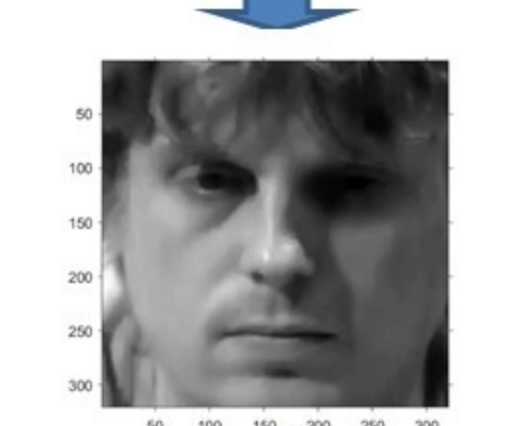
Strumenti: filtri (spaziali e temporali).

Edward H Adelson and James R Bergen,
Spatiotemporal energy models for the perception of motion
Josa a, 2(2):284-299, 1985

James R Bergen and Hugh R Wilson
Prediction of flicker sensitivities from temporal three-pulse data
Vision research, 25(4):577-582, 1985



Un semplice modello (Sistema Visivo Umano)



a_{ij}

$$\begin{matrix} n \text{ righe} \\ i \text{ cresce} \end{matrix} \quad \begin{matrix} m \text{ colonne} \\ j \text{ cresce} \end{matrix}$$
$$\left(\begin{array}{cccc} a_{11} & a_{12} & \dots & a_{1m} \\ a_{21} & a_{22} & \dots & a_{2m} \\ \vdots & \vdots & \ddots & \vdots \\ a_{n1} & a_{n2} & \dots & a_{nm} \end{array} \right)$$

matrice $n \times m$

Un semplice modello (Sistema Visivo Umano)

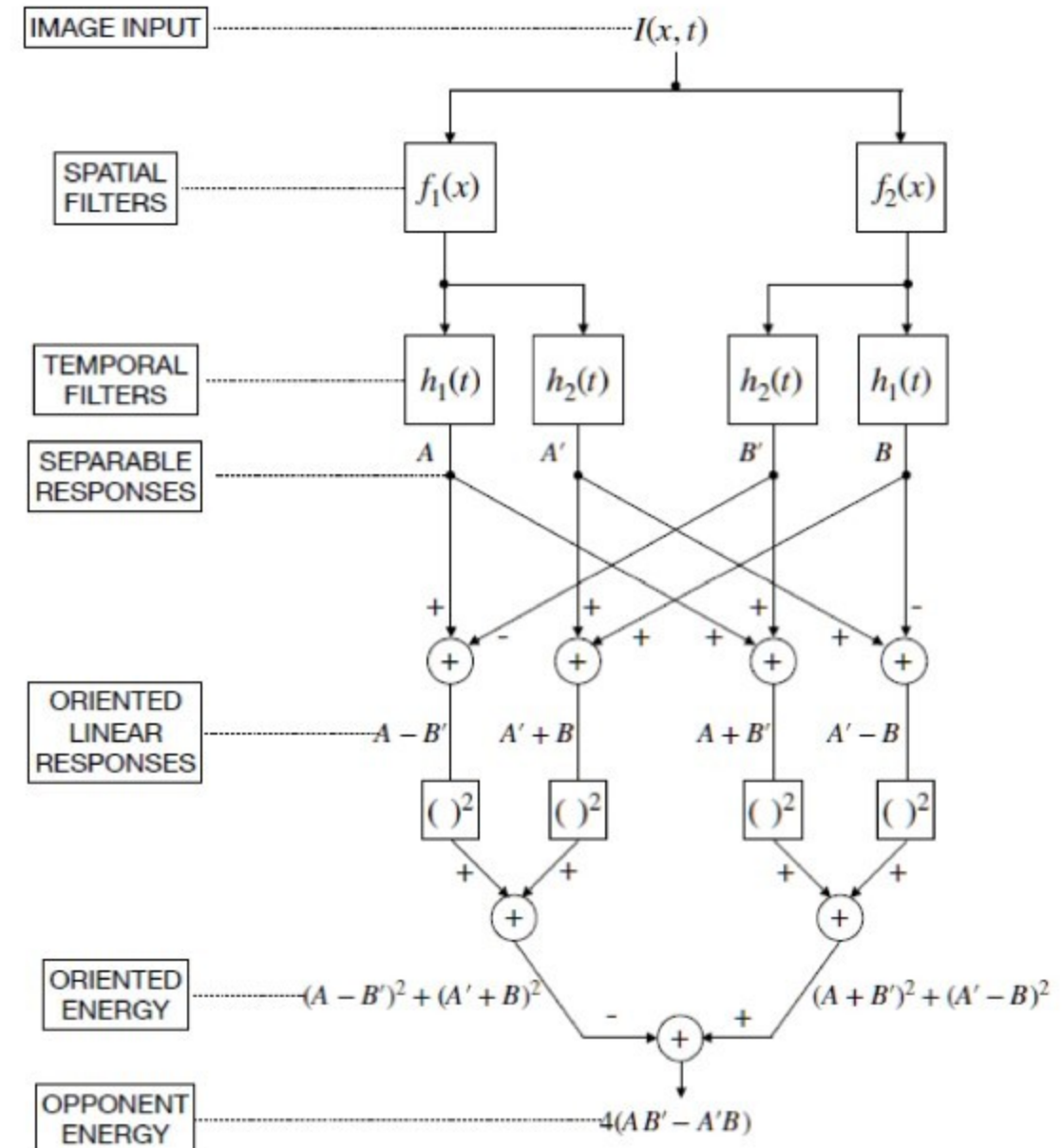
$$\{F_t\}_{t=1,\dots,T}$$

$$M \times N$$

$$A((i-1)N + j, t) = F_t(i, j)$$

$$A = \begin{bmatrix} f_1(1) & f_1(2) & \dots & f_1(T) \\ f_2(1) & f_2(2) & \dots & f_2(T) \\ \vdots & \vdots & \ddots & \vdots \\ f_{M \times N}(1) & f_{M \times N}(2) & \dots & f_{M \times N}(T) \end{bmatrix}$$

1° pixel 2° pixel

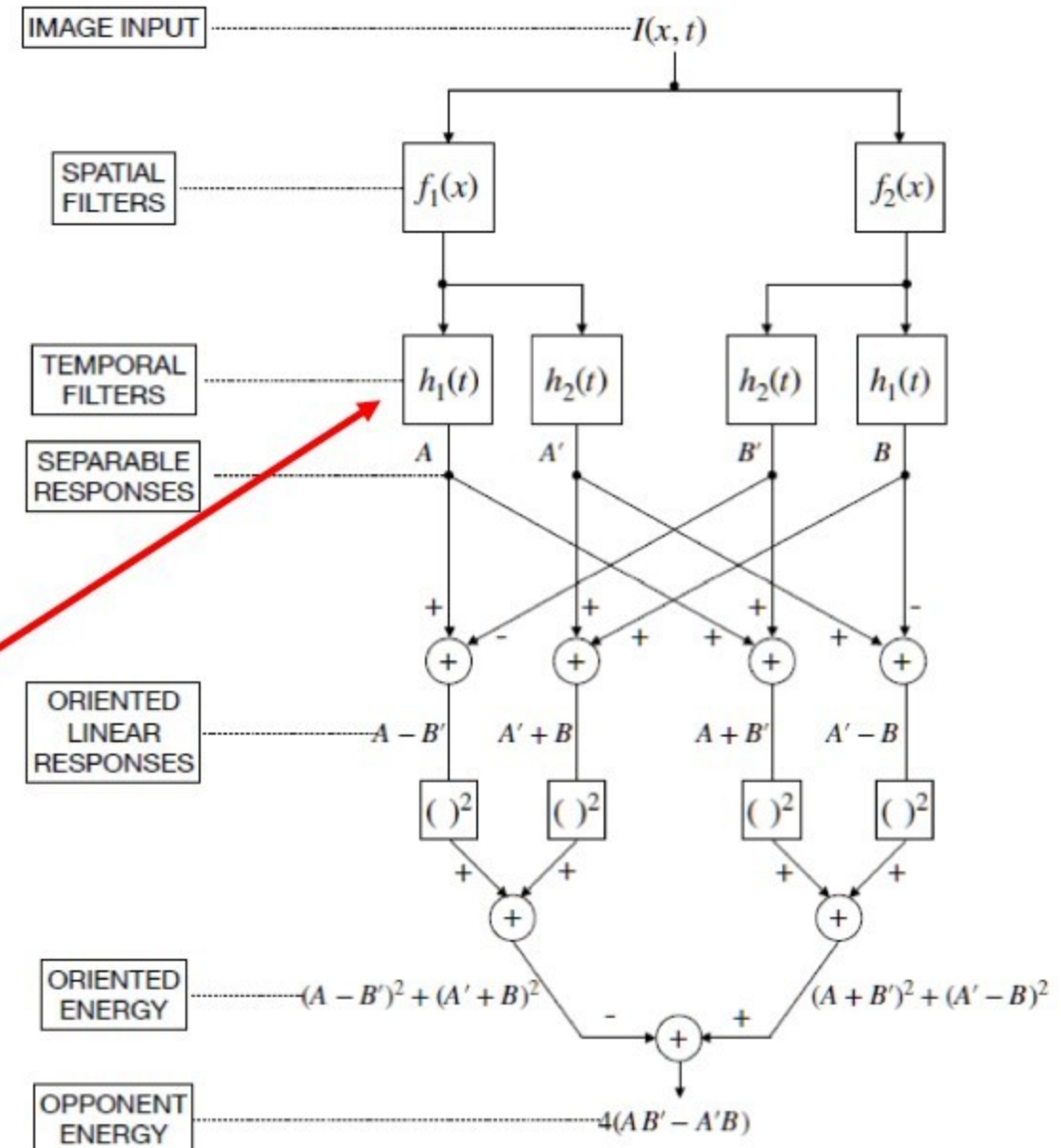


Un semplice modello (Sistema Visivo Umano)

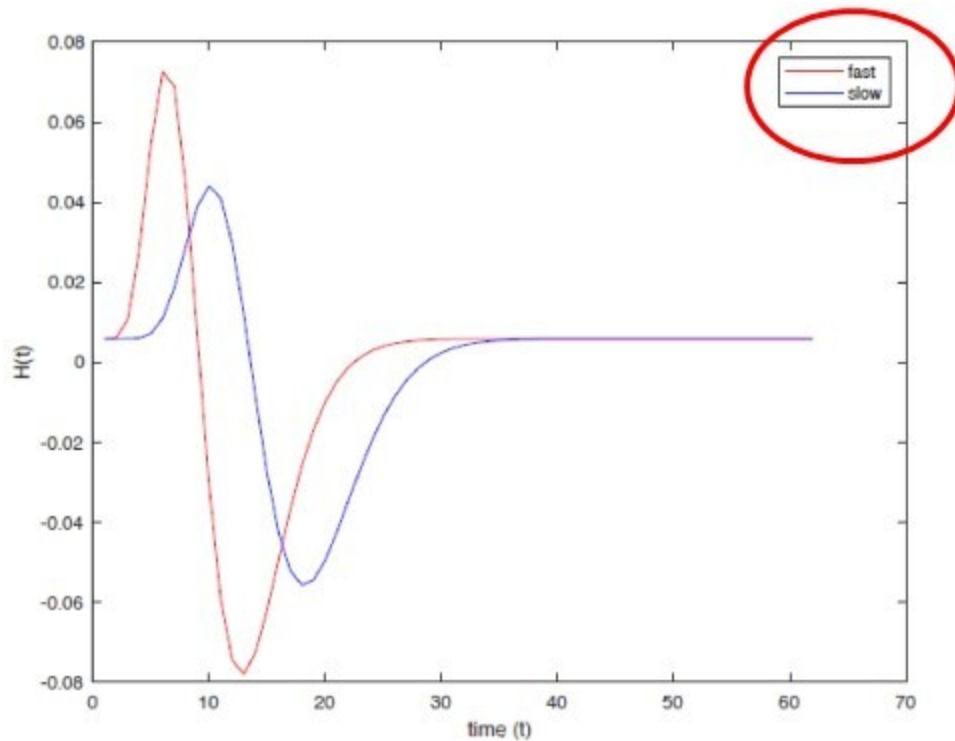
$$A = \begin{bmatrix} f_1(1) & f_1(2) & \dots & f_1(T) \\ f_2(1) & f_2(2) & \dots & f_2(T) \\ \vdots & \vdots & \vdots & \vdots \\ f_{M \times N}(1) & f_{M \times N}(2) & \dots & f_{M \times N}(T) \end{bmatrix}$$

$$f * g(x) = \int_R f(x - y)g(y)dy$$

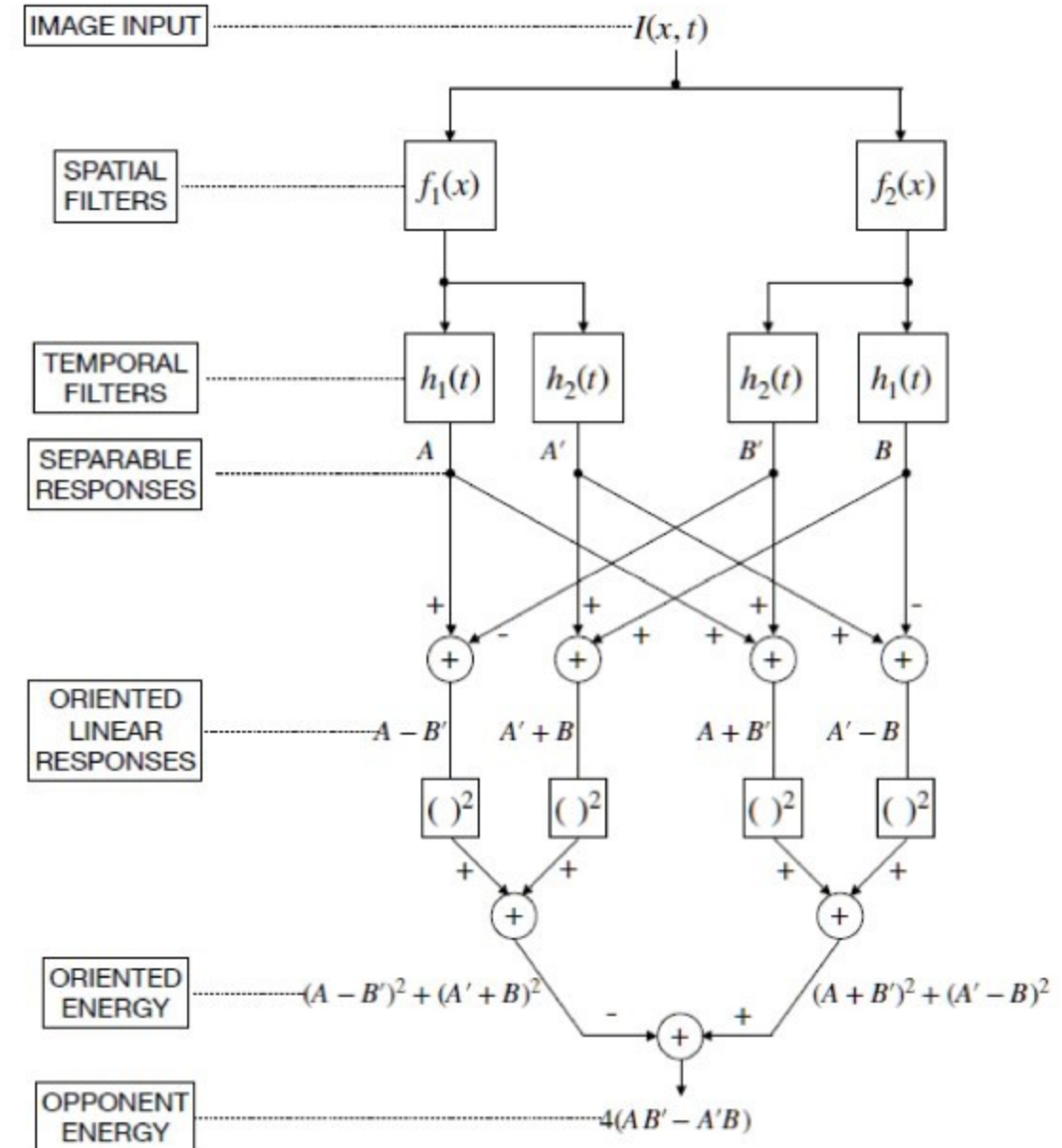
$$h(t) = (kt)^n e^{-kt} \left[\frac{1}{n!} - \beta \frac{(kt)^2}{(n+2)!} \right]$$



Un semplice modello (Sistema Visivo Umano)

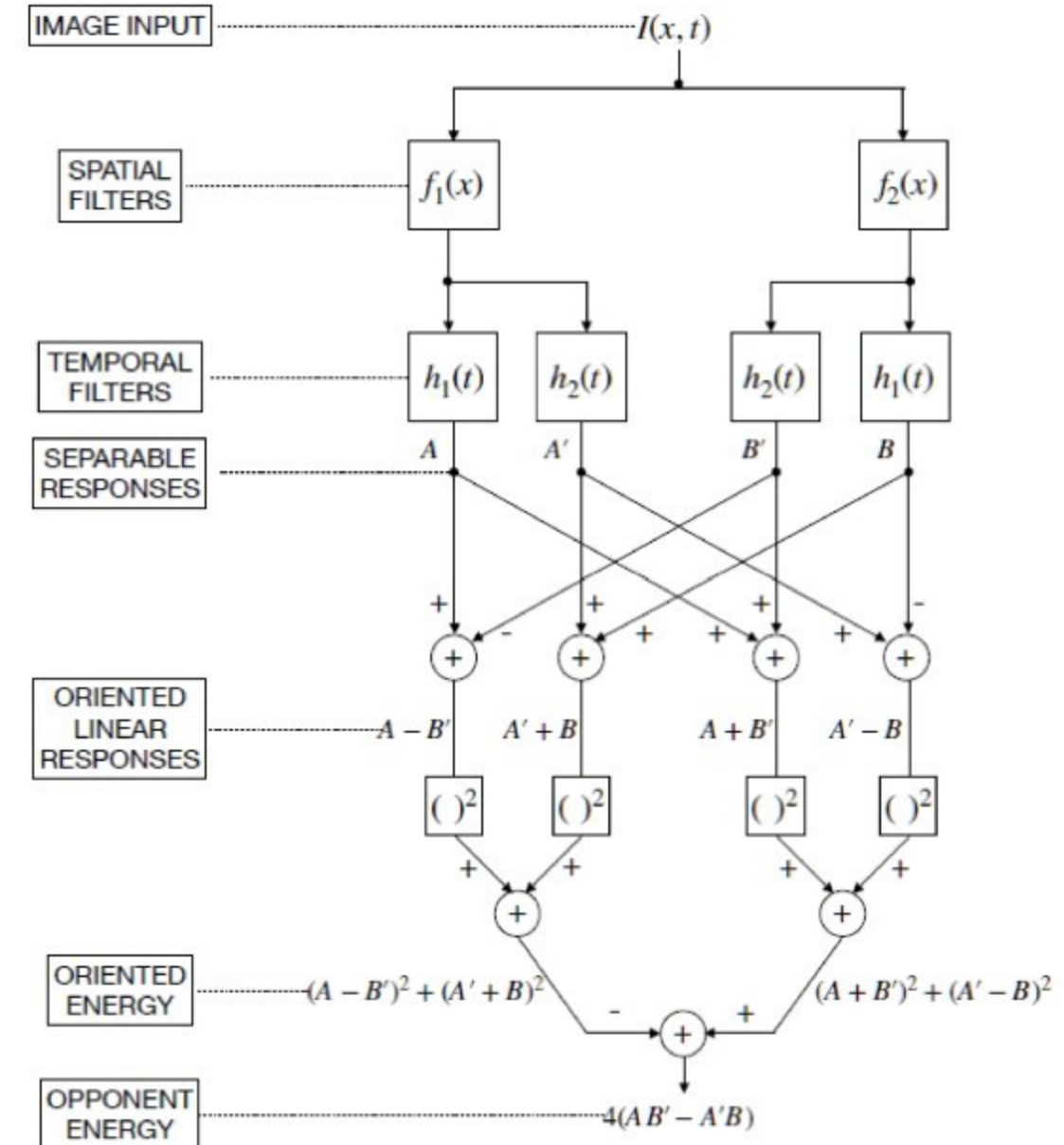
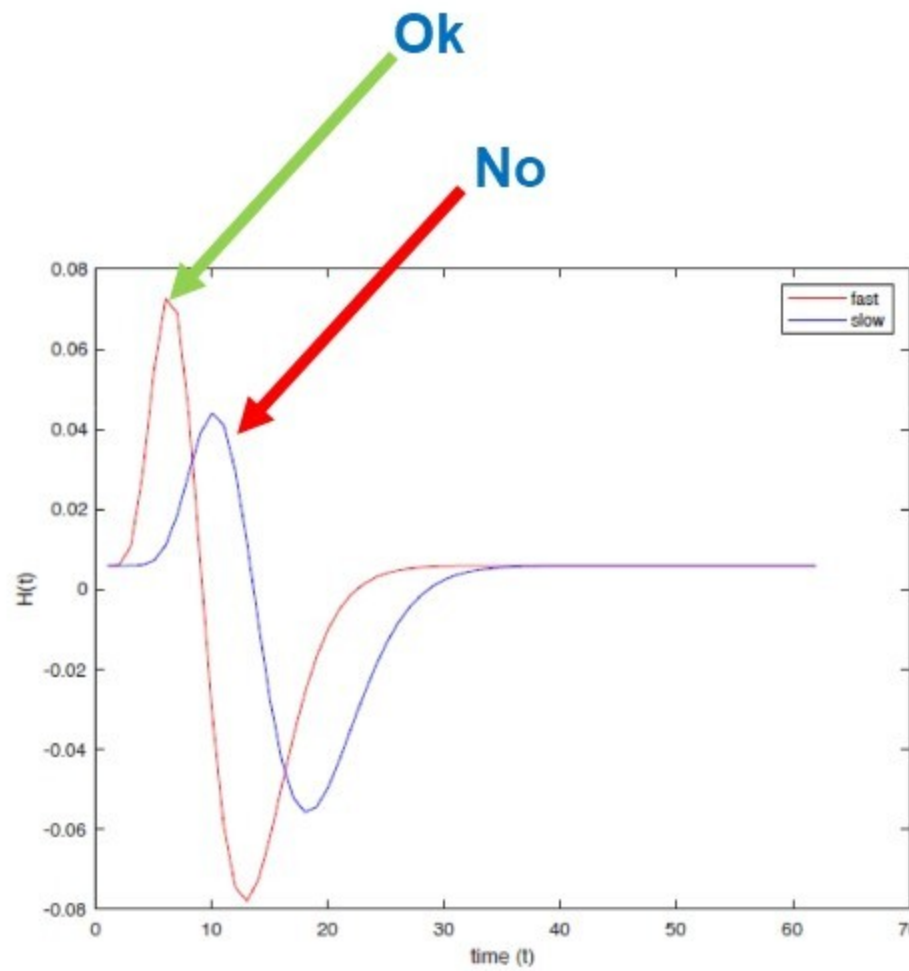


$$h(t) = (kt)^n e^{-kt} \left[\frac{1}{n!} - \beta \frac{(kt)^2}{(n+2)!} \right]$$

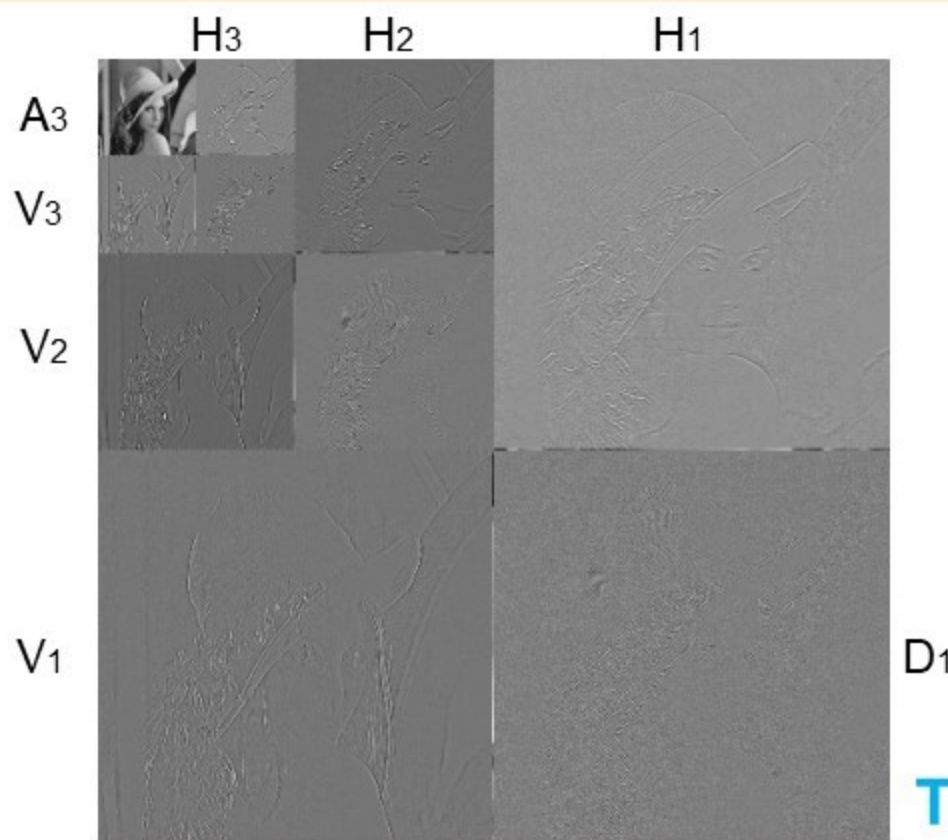


Un semplice modello (proposta)

Problema nel Modello di Adelson-Bergen



Un semplice modello (proposta)



S V U
I I M
S S A
T I N
E V O
M O
A

Trasformata Wavelet

$$Wf(u, s) = \langle f, \psi_{u,s} \rangle = \int_{-\infty}^{+\infty} f(t) \frac{1}{\sqrt{s}} \psi^* \left(\frac{t-u}{s} \right) dt$$

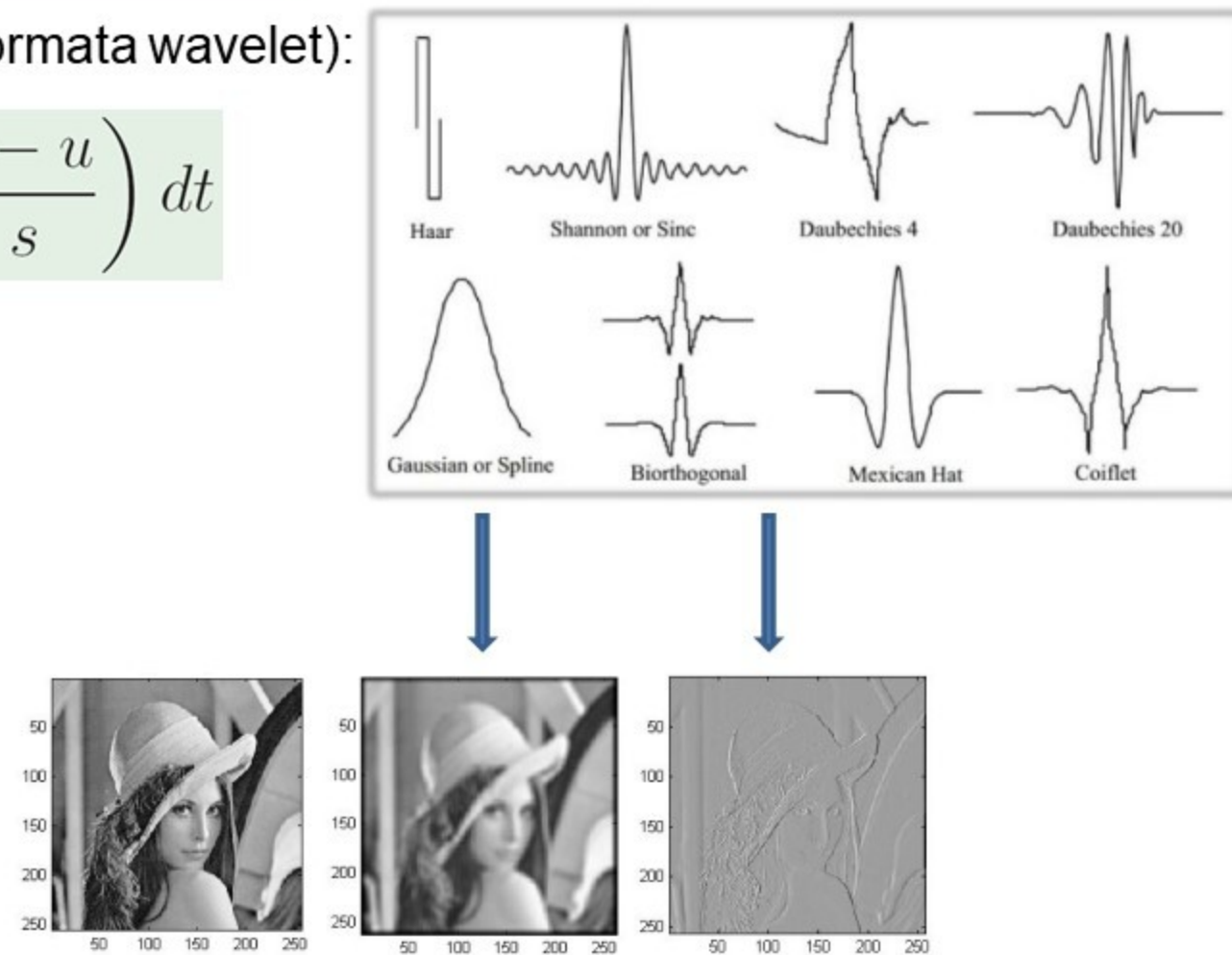
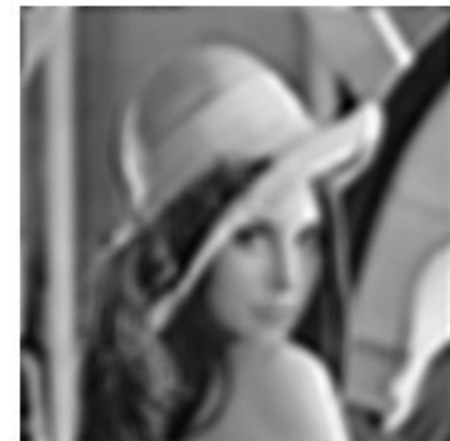


V. Bruni, D. Vitulano A fast preprocessing method for micro-expression spotting via perceptual detection of frozen frames Journal of Imaging 2021
V. Bruni, D. Vitulano SSIM based Signature of Facial Micro-Expressions, 2020

Un semplice modello (proposta)

Regolarizzazione spaziale (una banda della trasformata wavelet):

$$Wf(u, s) = \langle f, \psi_{u,s} \rangle = \int_{-\infty}^{+\infty} f(t) \frac{1}{\sqrt{s}} \psi^* \left(\frac{t-u}{s} \right) dt$$



V. Bruni, D. Vitulano A fast preprocessing method for micro-expression spotting via perceptual detection of frozen frames Journal of Imaging 2021
V. Bruni, D. Vitulano SSIM based Signature of Facial Micro-Expressions, 2020

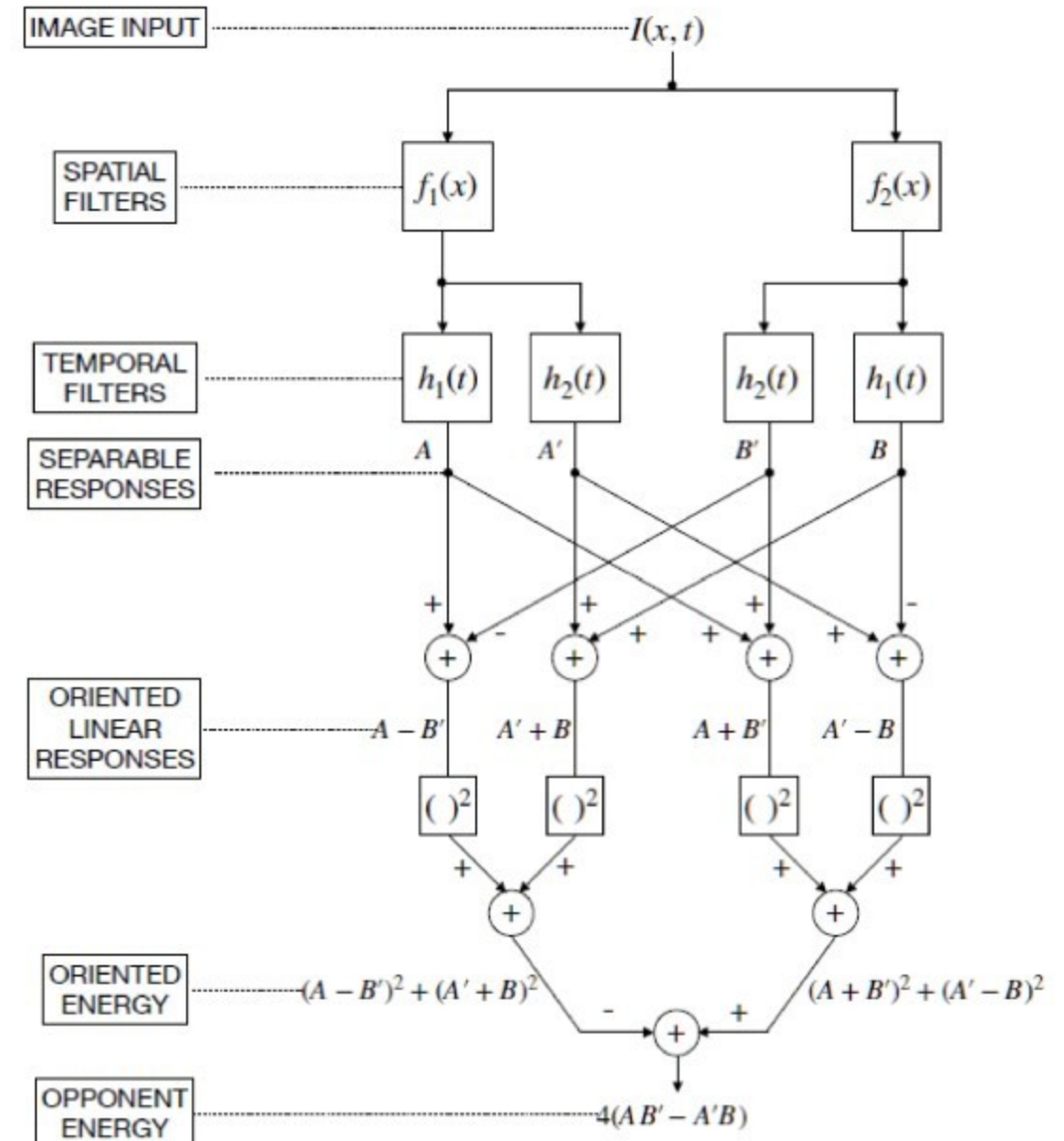
Un semplice modello (Sistema Visivo Umano)

$$A = \begin{bmatrix} f_1(1) & f_1(2) & \dots & f_1(T) \\ f_2(1) & f_2(2) & \dots & f_2(T) \\ \vdots & \vdots & \vdots & \vdots \\ f_{M \times N}(1) & f_{M \times N}(2) & \dots & f_{M \times N}(T) \end{bmatrix}$$

$$f * g(x) = \int_R f(x - y)g(y)dy$$

$$h(t) = (kt)^n e^{-kt} \left[\frac{1}{n!} - \beta \frac{(kt)^2}{(n+2)!} \right]$$

$$Z = \begin{bmatrix} Z_1(1) & Z_1(2) & \dots & Z_1(T) \\ Z_2(1) & Z_2(2) & \dots & Z_2(T) \\ \vdots & \vdots & \vdots & \vdots \\ Z_{M \times N}(1) & Z_{M \times N}(2) & \dots & Z_{M \times N}(T) \end{bmatrix}$$



Un semplice modello (Sistema Visivo Umano)

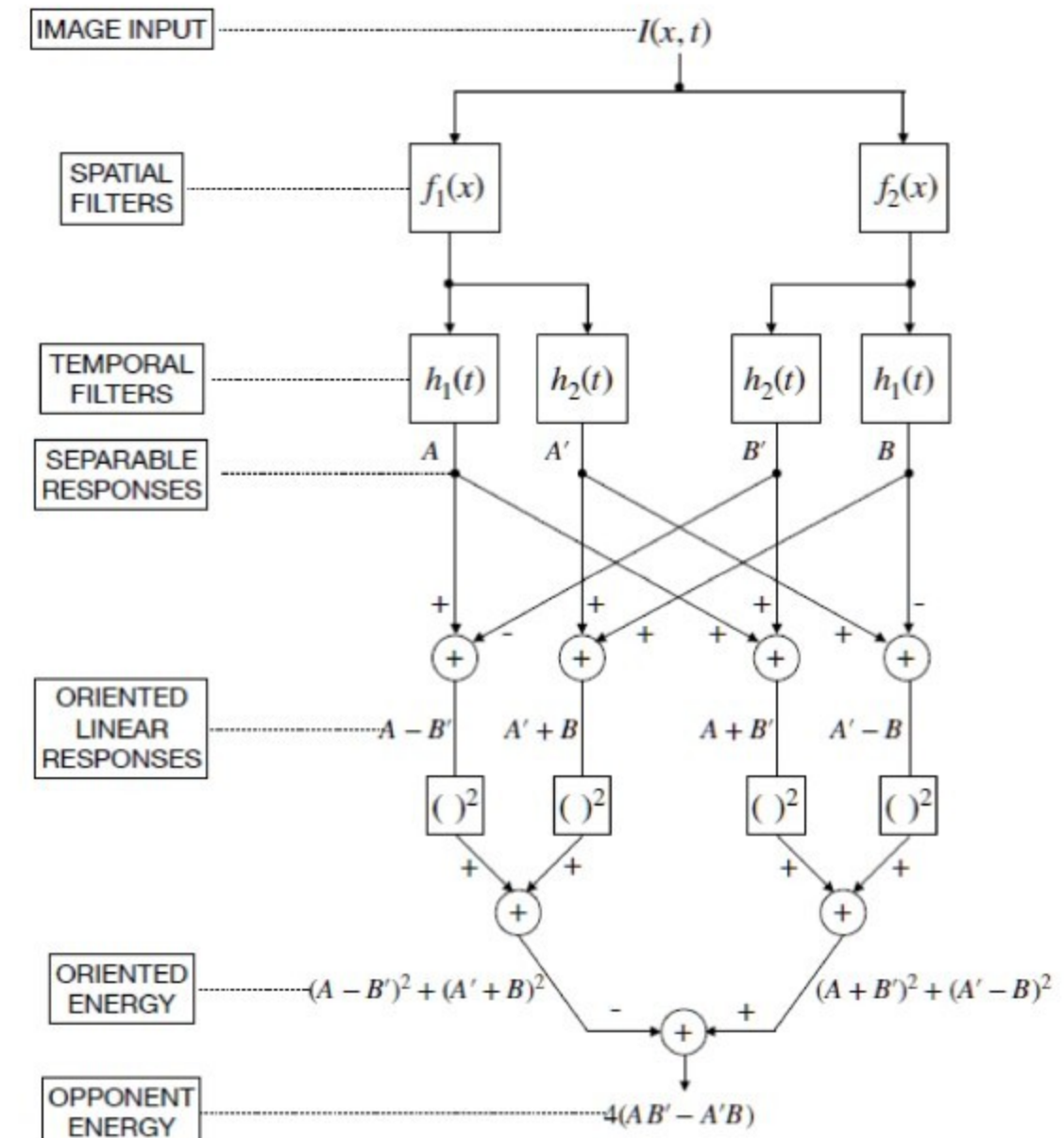
Basato sul modello originale di Adelson e Bergen modificato

Strumenti: concetti di immagine, video e filtri (spaziali e temporali)

$$Z = \begin{bmatrix} Z_1(1) & Z_1(2) & \dots & Z_1(T) \\ Z_2(1) & Z_2(2) & \dots & Z_2(T) \\ \vdots & \vdots & \vdots & \vdots \\ Z_{M \times N}(1) & Z_{M \times N}(2) & \dots & Z_{M \times N}(T) \end{bmatrix}$$

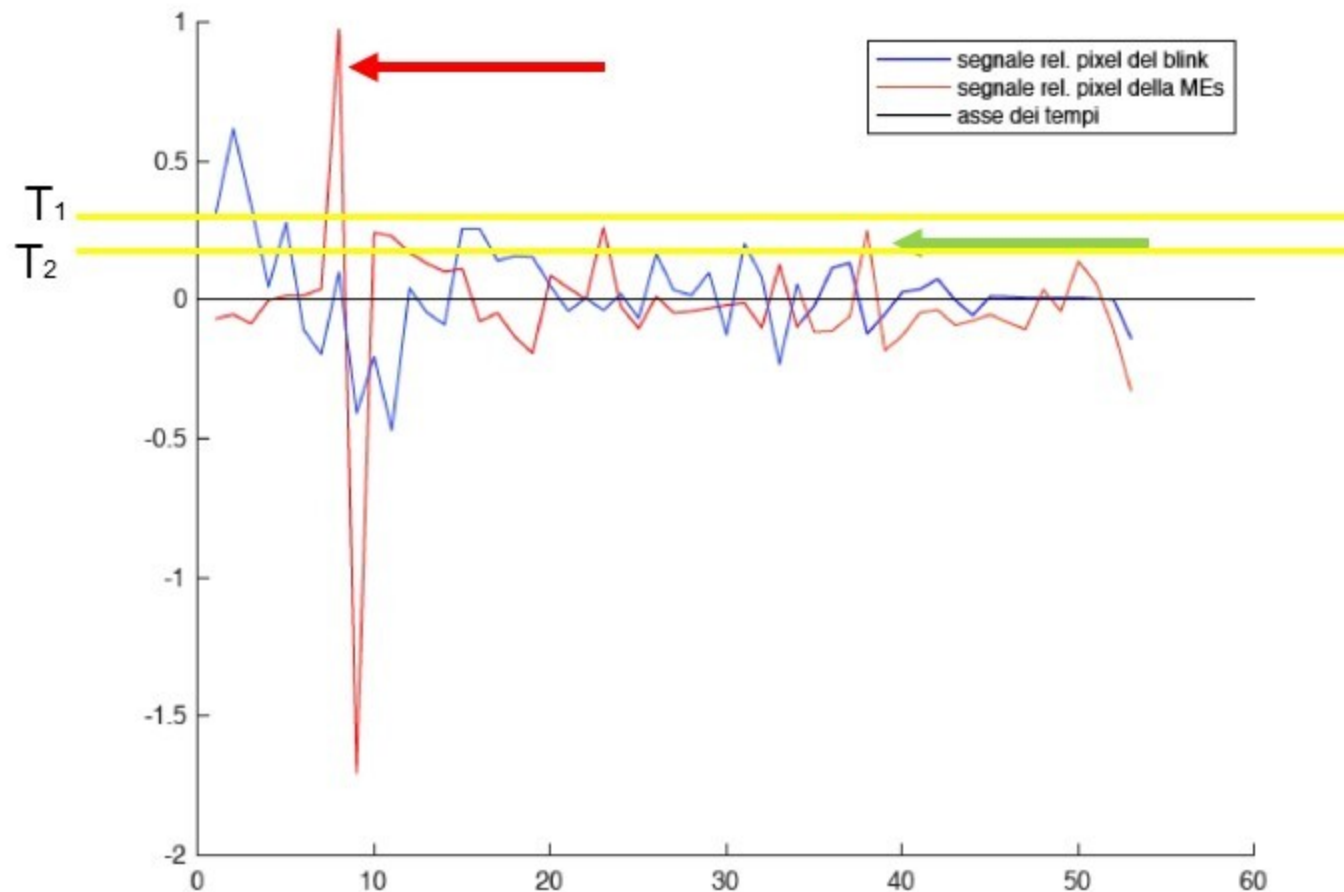
Edward H Adelson and James R Bergen,
Spatiotemporal energy models for the perception of motion
Josa a, 2(2):284-299, 1985

James R Bergen and Hugh R Wilson
Prediction of flicker sensitivities from temporal three-pulse data
Vision research, 25(4):577-582, 1985



Un semplice modello (sistema visivo umano)

Sogliatura:

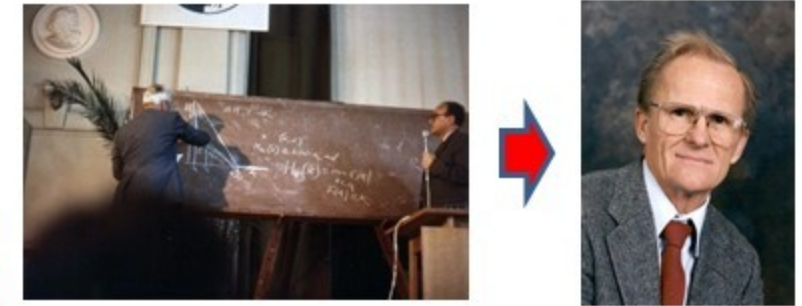
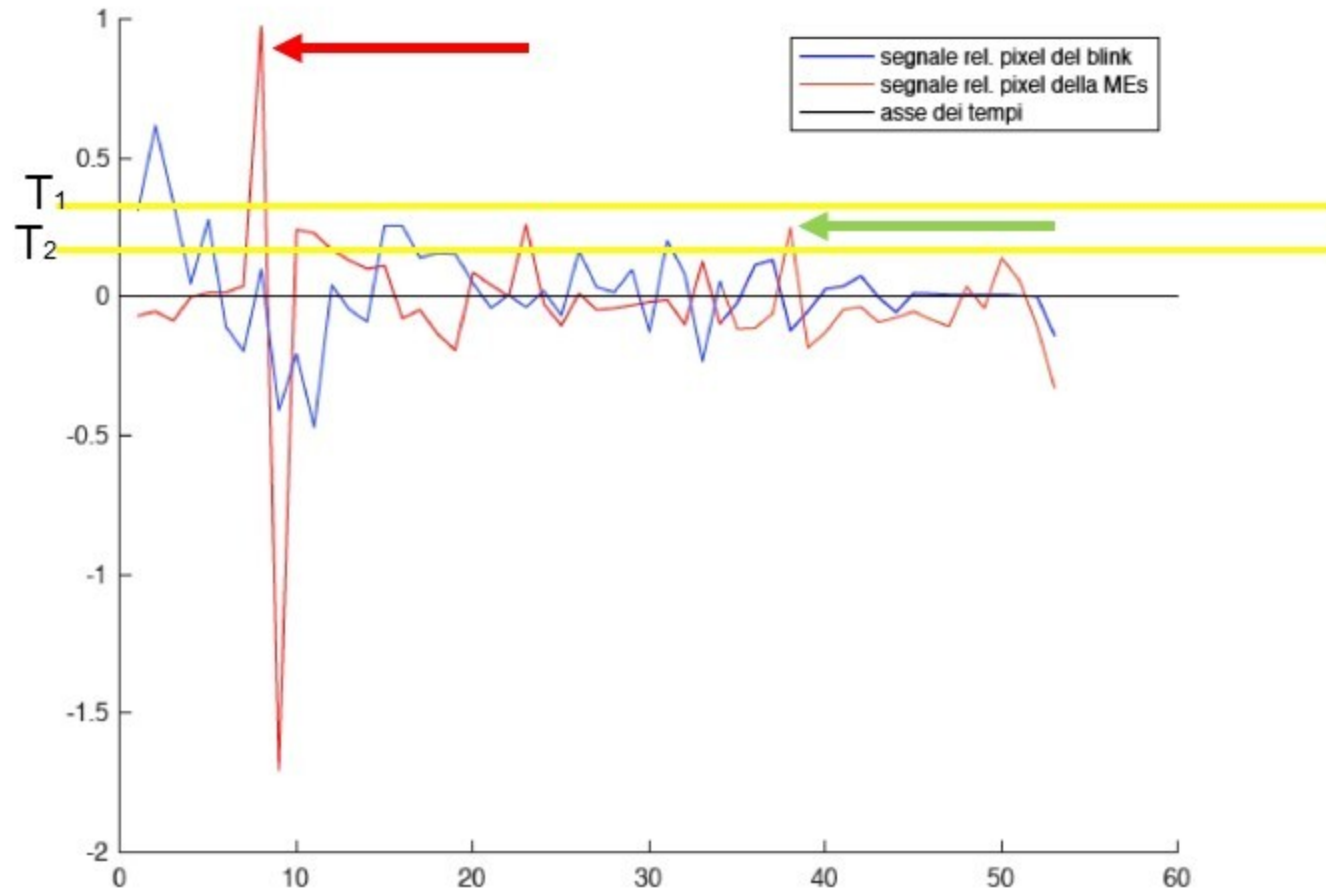


$$Z = \begin{bmatrix} Z_1(1) & Z_1(2) & \dots & Z_1(T) \\ Z_2(1) & Z_2(2) & \dots & Z_2(T) \\ \vdots & \vdots & \ddots & \vdots \\ Z_{M \times N}(1) & Z_{M \times N}(2) & \dots & Z_{M \times N}(T) \end{bmatrix}$$



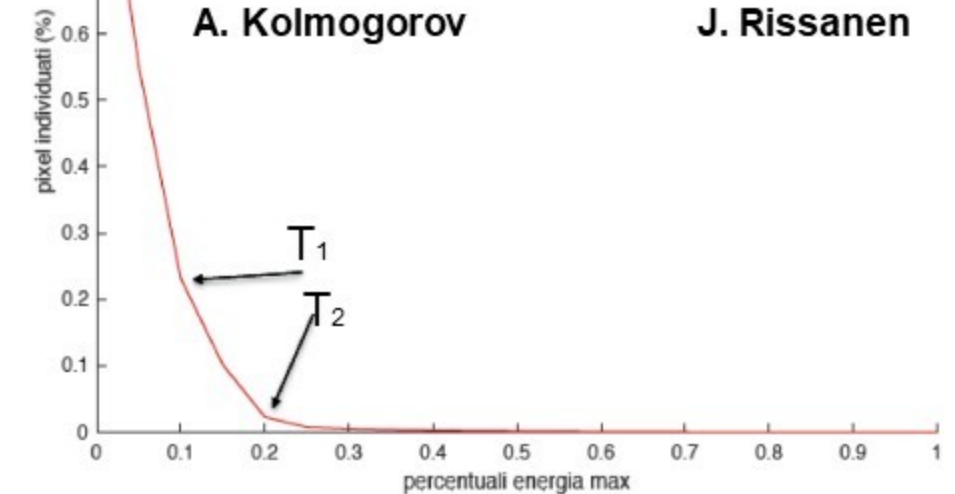
Un semplice modello (sistema visivo umano)

Sogliatura:



A. Kolmogorov

J. Rissanen



Minimum Description length:

$$L(D) = \min_{H \in \mathcal{H}} (L(H) + L(D|H))$$

D: dati

H: ipotesi

\mathcal{H} : insieme di ipotesi

Alcuni risultati sperimentali



Estratti da MEVIEW

Petr Husak, Jan Cech, and Jir Matas.
Spotting facial micro-expressions in the wild".
In 22nd Computer Vision Winter Workshop (Retz), 2017

Alcuni risultati sperimentali



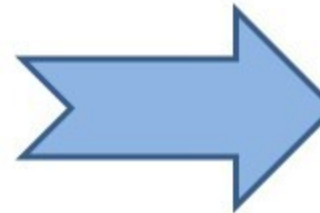
DV TV



DV TV

Intelligenza
Artificiale

Alcuni risultati sperimentali



Alcuni risultati sperimentali

Solo filtro temporale (risultato intermedio)



Blink

MicroEspressione

Filtro spazio-temporale



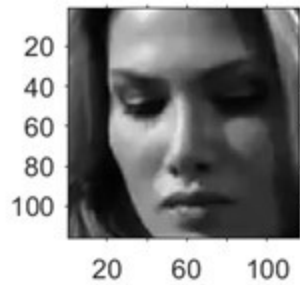
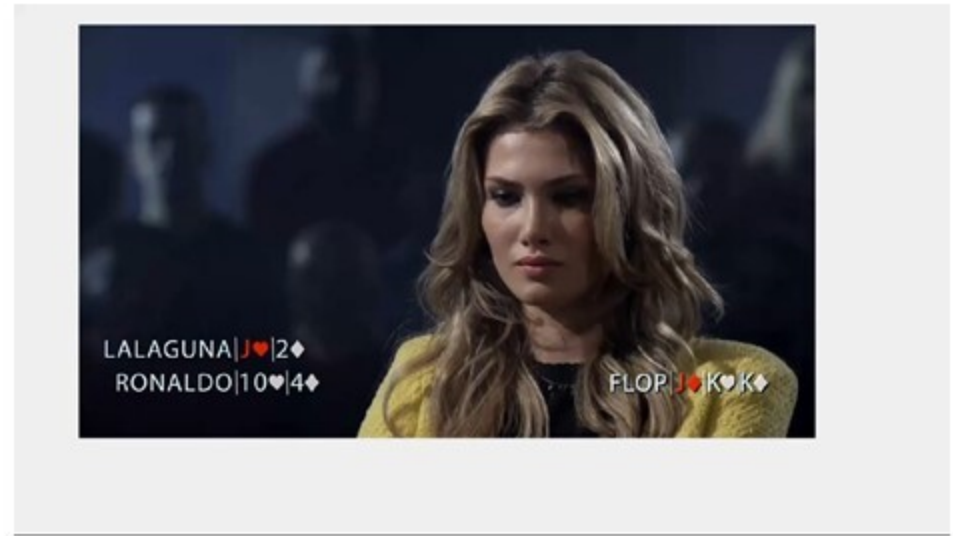
Blink

MicroEspressione

Alcuni risultati sperimentali



Intelligenza
Artificiale



Alcuni risultati sperimentali

Una curiosità...



Filtro temporale

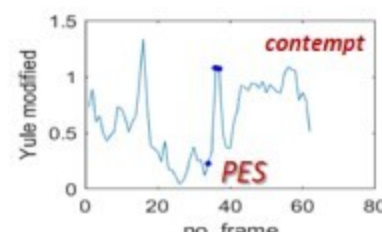
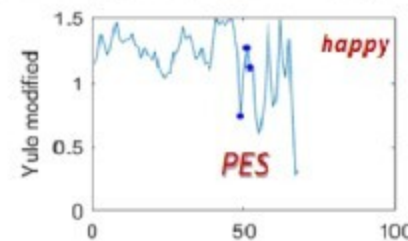
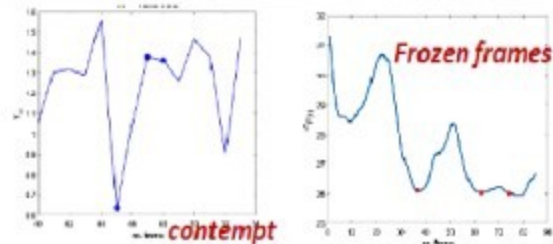


Optical flow

Alcuni risultati sperimentali



**Goal:
Real Time**



- V. Bruni, D. Vitulano, A fast preprocessing method for micro-expression spotting via perceptual detection of **frozen frames** Journal of Imaging 2021
- V. Bruni, D. Vitulano, **SSIM** based Signature of Facial Micro-Expressions, 2020

Emotional marketing

Obiettivo: Gestione e il controllo delle emozioni dei clienti

Alcune imprese di successo:

GE Cisco IBM AutoDesk Qualcomm

Gli investimenti nel 2020 si sono attestati su una cifra di circa 20 miliardi di dollari

Alcuni casi eclatanti (1):

acquisizione da parte di Apple di Emotient

(start-up: intelligenza artificiale per

- i) valutare le reazioni degli utenti a spot pubblicitari di inserzionisti
- ii) interpretare i sintomi di panico tra pazienti che non sono in grado di esprimersi mediante l'intelligenza artificiale,
- iii) **registrare le espressioni facciali dei clienti lungo le corsie di rivenditori che adottano questa tecnologia**



Emotional marketing

Obiettivo: Gestione e il controllo delle emozioni dei clienti

Alcune imprese di successo:
GE Cisco IBM AutoDesk Qualcomm

Gli investimenti nel 2020 si sono attestati su una cifra di circa 20 miliardi di dollari

Alcuni casi eclatanti (2):

Nielsen che ha acquisito Innerscope

(tecnologia basata su indici biometrici: scansioni cerebrali e indice galvanico della pelle, che permette di cogliere le reazioni inconsce dei clienti)



Emotional marketing

Altri esempi illustri sono:

Unilever

P&G

Mars

Honda

Kellogg

Coca Cola



Peter Lewinski, Marieke Fransen, Ed S. Tan

Predicting Advertising Effectiveness by Facial Expressions in Response
to Amusing Persuasive Stimuli

Journal of Neuroscience Psychology and Economics, March 2014

*Grazie
per l'attenzione*